РЕАКЦИИ БРОМИДОВ ОРГАНИЛТРИФЕНИЛФОСФОНИЯ С БРОМИДОМ СЕРЕБРА В ПРИСУТСТВИИ БРОМИСТОВОДОРОДНОЙ КИСЛОТЫ

В.В. Шарутин¹⊠, Д.П. Шевченко¹, О.К. Шарутина¹, Е.В. Баранов²

1 Южно-Уральский государственный университет, Челябинск, Россия

Аннотация. Взаимодействием бромидов 2-оксибензилтрифенилфосфония, пропаргилтрифенилфосфония, бензилтрифенилфосфония, бромпропилтрифенилфосфония с бромидом серебра получены ионные комплексы [Ph₃PCH₂C₆H₂(OH-2)Br₂-3,5][Br] (1) [C₂₅H₂₀OPBr₃, M = 607,11; моноклинная сингония, пр. гр. $P2_1/c$; параметры ячейки: a = 18,157(11) Å, b = 15,293(8) Å, c = 17,258(9) Å; $\beta = 90,27(3)^{\circ},\ V = 4792(5)\ \text{Å}^3,\ Z = 4;\ \rho_{\text{выч}} = 1,682\ \text{г/см}^3;\ \mu = 5,132\ \text{мм}^{-1};\ F(000) = 2380;\ \text{обл. сбора}$ по 2 θ : 5,72–52,2 θ °; всего отражений 83462; независимых отражений 9454 ($R_{int} = 0.0546$); GOOF = 1.015; R-фактор 0,0351]; [Ph₃PCHBr₂][Br] · DMSO (2) [C_{21,33}H₂₃O_{1,17}S_{1,17}PBr₃, M = 606,17; тригональная сингония, пр. гр. $R\overline{3}$; параметры ячейки: a = 33,379(18) Å, b = 33,379 Å, c = 11,145(6) Å; $\alpha = 90,00^\circ$, $\beta = 90.00^{\circ}, \ \gamma = 120,00^{\circ}, \ V = 10753(13) \ \text{Å}^3, \ Z = 18; \ \rho_{\text{выч}} = 1,685 \ \text{г/cm}^3; \ \mu = 5,244 \ \text{mm}^{-1}; \ F(000) = 5382;$ обл. сбора по 2θ : 6,26–61,2°; всего отражений 59595; независимых отражений 7328 ($R_{int} = 0,0600$); GOOF = 1,047; R-фактор 0,0411]; $[Ph_3PCH_2Ph]^+_2[Ag_2Br_4]^2$ (3) $[C_{25}H_{22}PBr_2Ag, M = 621,07;$ моноклинная сингония, пр. гр. C2/c; параметры ячейки: a = 24,825(14) Å, b = 10,215(7) Å, c = 19,910(11) Å; $\beta = 109,98(2)^{\circ},\ V = 4745(5)\ \text{Å}^3,\ Z = 8;\ \rho_{\text{выч}} = 1,739\ \text{г/см}^3;\ \mu = 4,294\ \text{мм}^{-1};\ F(000) = 2432;\ обл.\ сбора по 20:$ $6,34-67,60^{\circ}$; всего отражений 89682; независимых отражений 9477 ($R_{\text{int}}=0,0677$); GOOF=1,007; R-фактор 0,0452]; $[Ph_3P(CH_2)_3Br]^+_3[Ag_3Br_6]^{3-}$ (4) $[C_{63}H_{63}P_3Br_9Ag_3, M = 1955,75;$ моноклинная сингония, пр. гр. P2/c; параметры ячейки: a = 24,59(3) Å, b = 16,41(2) Å, c = 17,99(2) Å; $\beta = 108,25(4)^\circ$, $V = 6893(15) \text{ Å}^3$, Z = 4; $\rho_{\text{выч}} = 1,885 \text{ г/см}^3$; $\mu = 6,167 \text{ мм}^{-1}$; F(000) = 3768; обл. сбора по 20: 5,88–39,72°; всего отражений 35058; независимых отражений 6251, $R_{\text{int}} = 0.0555$, GOOF = 1.048; R-фактор 0,0672].

Ключевые слова: бромид серебра, бромиды 2-оксибензилтрифенилфосфония, пропаргилтрифенилфосфония, бензилтрифенилфосфония, бромпропилтрифенилфосфония, бромистоводородная кислота, диметилсульфоксид, реакции, синтез, строение, рентгеноструктурный анализ

Для цитирования: Реакции бромидов органилтрифенилфосфония с бромидом серебра в присутствии бромистоводородной кислоты / В.В. Шарутин, Д.П. Шевченко, О.К. Шарутина, Е.В. Баранов // Вестник ЮУрГУ. Серия «Химия». 2025. Т. 17, № 3. С. 97–105. DOI: 10.14529/chem250309

Original article

DOI: 10.14529/chem250309

REACTIONS OF ORGANYLTRIPHENYLPHOSPHONIUM BROMIDES WITH SILVER BROMIDE IN THE PRESENCE OF HYDROBROMIC ACID

V.V. Sharutin^{1™}, D.P. Shevchenko¹, O.K. Sharutina¹, E.V. Baranov²

Abstract. The interaction of 2-hydroxybenzyltriphenylphosphonium, propargyltriphenylphosphonium, benzyltriphenylphosphonium, and bromopropyltriphenylphosphonium bromides with silver bro-

² Институт металлоорганической химии им. Г.А. Разуваева РАН, Нижний Новгород, Россия

[™] sharutin50@mail.ru

¹ South Ural State University, Chelyabinsk, Russia

² Razuvaev Institute of Organometallic Chemistry, Russian Academy of Sciences, Nizhny Novgorod, Russia

[™] sharutin50@mail.ru

[©] Шарутин В.В., Шевченко Д.П., Шарутина О.К., Баранов Е.В., 2025.

mide produced ionic complexes $[Ph_3PCH_2C_6H_2(OH-2)Br_2-3,5][Br]$ (1) $[C_{25}H_{20}OPBr_3, M = 607.11;$ monoclinic system, sp. gr. $P2_1/c$; cell parameters: a = 18.157(11) Å, b = 15.293(8) Å, c = 17.258(9) Å; $\beta =$ 90.27(3)°, $V = 4792(5) \text{ Å}^3$, Z = 4; $\rho_{calc} = 1.682 \text{ g/cm}^3$; $\mu = 5.132 \text{ mm}^{-1}$; F(000) = 2380; collection range at 20: $5.72-52.26^{\circ}$; total reflections 83462; independent reflections 9454, $R_{\text{int}} = 0.0546$, GOOF = 1.015; $R_{\text{int}} = 0.0546$ factor 0.0351]; $[Ph_3PCHBr_2][Br] \cdot DMSO(2)[C_{21,33}H_{23}O_{1,17}S_{1,17}PBr_3, M = 606.17; trigonal system, sp. gr.$ $R\overline{3}$; cell parameters: a = 33.379(18) Å, b = 33.379 Å, c = 11.145(6) Å; $\alpha = 90.00^{\circ}$, $\beta = 90.00^{\circ}$, $\gamma = 90.00^{\circ}$ 120.00°, $V = 10753(13) \text{ Å}^3$, Z = 18; $\rho_{\text{calc}} = 1.685 \text{ g/cm}^3$; $\mu = 5.244 \text{ mm}^{-1}$; F(000) = 5382; collection range at 20: 6.26–61.20°; total reflections 59595; independent reflections 7328, $R_{\rm int} = 0.0600$, GOOF = 1.047; *R*-factor 0.0411]; $[Ph_3PCH_2Ph]^+_2[Ag_2Br_4]^{2-}$ (3) $[C_{25}H_{22}PBr_2Ag, M = 621.07;$ monoclinic system, sp. gr. C2/c; cell parameters: a = 24.825(14) Å, b = 10.215(7) Å, c = 19.910(11) Å; $\beta = 109.98(2)^{\circ}$, V = 4745(5)Å³, Z = 8; $\rho_{calc} = 1.739 \text{ g/cm}^3$; $\mu = 4.294 \text{ mm}^{-1}$; F(000) = 2432; collection range at 20: 6.34–67.60°; total reflections 89682; independent reflections 9477, $R_{\text{int}} = 0.0677$, GOOF = 1.007; R-factor 0.0452]; $[Ph_3P(CH_2)_3Br]^+_3[Ag_3Br_6]^{3-}$ (4) $[C_{63}H_{63}P_3Br_9Ag_3, M = 1955.75;$ monoclinic system, sp. gr. P2/c; cell parameters and P3/c cell parameters are specified by P3/c cell parameters and P3/c cell parameters are specified by P3/c cell parameters and P3/c cell parameters are specified by P3/c cell parameters are specified by P3/c cell parameters and P3/c cell parameters are specified by P3/c cell parameters ar rameters: a = 24.59(3) Å, b = 16.41(2) Å, c = 17.99(2) Å, $\beta = 108.25(4)^{\circ}$, V = 6893(15) Å³, Z = 4, $\rho_{\text{BbH}} = 1.885 \text{ g/cm}^3$; $\mu = 6.167 \text{ mm}^{-1}$; F(000) = 3768; collection range at 20: 5.88–39.72°; total reflections 35058; independent reflections 6251, $R_{\text{int}} = 0.0555$, GOOF = 1.048; R-factor 0.0672].

Keywords: silver bromide, 2-hydroxybenzyltriphenylphosphonium bromide, propargyltriphenylphosphonium bromide, benzyltriphenylphosphonium bromide, bromopropyltriphenylphosphonium bromide, hydrobromic acid, dimethyl sulfoxide, reactions, synthesis, structure, X-ray structural analysis

For citation: Sharutin V.V., Shevchenko D.P., Sharutina O.K., Baranov E.V. Reactions of organyl-triphenylphosphonium bromides with silver bromide in the presence of hydrobromic acid. *Bulletin of the South Ural State University*. *Ser. Chem.* 2025;17(3): 97–105. (In Russ.) DOI: 10.14529/chem250309

Введение

В литературе описан синтез галогенсодержащих комплексов переходных металлов из их галогенидов или комплексных кислот и галогенидов тетраорганилфосфония, тетраорганилстибония [1–21]. Например, галогенсодержащие комплексы серебра с моно-, би-, три-, олиго- и полиядерными анионами получали из галогенидов тетраорганилфосфония и галогенидов серебра в растворе диметилсульфоксида [1–7]. Установлено, что в зависимости от соотношения исходных реагентов продуктами реакций могут быть ионные комплексы серебра, содержащие производные с моноядерными анионами, такими как $[AgBr_3]^{2-}$ [1], полиядерными анионами $[Ag_2Br_3]^{n-}$ [1, 2], однако взаимодействие иодида метилтрифенилфосфония с иодидом серебра, независимо от мольного соотношения реагентов (1:1, 1:2, 1:3), протекает с образованием комплекса с анионом полимерного строения $[Ph_3PMe]^+_n[Ag_3I_4]^{n-}_n$ [3]. Также показано, что реакция иодида метилтрифенилфосфония с иодистым серебром в ацетонитриле при мольном соотношении 2:1 приводит к образованию комплекса $[Ph_3MeP]^+_2[AgI_3]^{2-}$ [4].

Ряд ионных комплексов серебра с биядерными галогенсодержащими анионами $[Ag_2Hal_4]^{2-}$ (Hal = Cl, Br, I) получен в результате взаимодействия галогенидов серебра с фосфониевыми солями в растворе диметилсульфоксида [2, 3, 5].

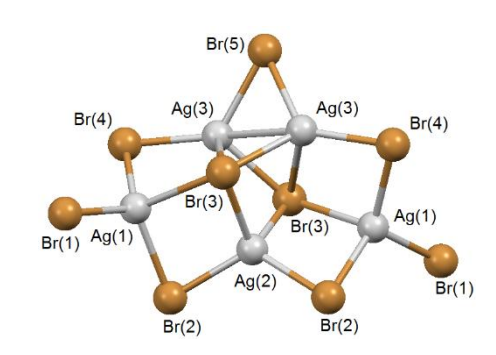
$$2 \; [Ph_3PR]Hal \; + \; 2 \; AgHal \quad \xrightarrow{DMSO} \; [Ph_3PR]^+_2[Ag_2Hal_4]^{2-}$$

Помимо моно-, би-, и полиядерных анионов в растворе диметилсульфоксида (ДМСО) возможно формирование анионов иного структурного типа. Так, продуктом реакции эквимольных количеств иодида тетра-p-толилфосфония и иодида серебра является комплекс с трехъядерным анионом [Ag_3I_6]³⁻ [6].

$$3 p\text{-Tol}_4\text{PI} + 3 \text{ AgI} \xrightarrow{\text{DMSO}} [p\text{-Tol}_4\text{P}]^+_3[\text{Ag}_3\text{I}_6]^{3-}$$

В реакции дибромида триметилен-*бис*(трифенилфосфония) с бромидом серебра в ДМСО, независимо от мольного соотношения реагентов, образуется сольват $[Ph_3P(CH_2)_3PPh_3]^{2+}_2[Ag_5Br_9]^{4-}$ · DMSO [5]:

$$2 \left[Ph_3P(CH_2)_3PPh_3\right]Br_2 + 5 AgBr \xrightarrow{DMSO} \left[Ph_3P(CH_2)_3PPh_3\right]^{2+}_2 \left[Ag_5Br_9\right]^{4-} \cdot DMSO$$



Центральной частью аниона является группа атомов Ag_3Br_3 , слева и справа от которой расположены фрагменты $AgBr_3$, в которых присутствуют как мостиковые атомы Br(2,4) (расстояния $Ag-Br-\mu_2$ 2,5462(13)–2,7474(13) Å), так и терминальные Br(1) (Ag-Br 2,5894(14) Å) атомы. Длины связей Ag-Br с четырехкоординированным μ_4 -Br(3) атомом брома имеют максимальные значения и варьируются в интервале 2,6980(13)–2,9355(13) Å.

Фосфониевые комплексы серебра с полимерными анионами $[Ag_2Br_3]_n^{n-}$, $[Ag_5Br_6]_n^{n-}$ были получены взаимодействием бромидов органилтрифенилфосфония с бромидом серебра в диметил-сульфоксиде [7].

Таким образом, дизайн Ag,Hal-содержащего аниона определяется как природой исходной фосфониевой соли, так и мольным соотношением реагентов, при этом чаще всего наблюдается образование комплексных соединений с анионами $[Ag_2Hal_4]^{2-}$.

Экспериментальная часть

Синтез соединения [Ph₃PCH₂C₆H₂(OH-2)Br₂-3,5][Br] (1). К раствору 40 мг (0,21 ммоль) бромида серебра в 3 мл ДМСО и 0,1 мл НВг (40 %) прибавляли при перемешивании 95 мг (0,21 ммоль) бромида 2-оксибензилтрифенилфосфония. После испарения растворителя получили 90 мг (71%) бесцветных кристаллов 1 с $T_{\text{разл}} = 253$ °C. Найдено (%): С 48,95; Н 3,42. Для $C_{50}H_{39}O_2P_2Br_6$ рассчитано (%): С 49,46; Н 3,21. ИК спектр (ν , см⁻¹): 3057, 3040, 3009, 2992, 2895, 2860, 2799, 1587, 1545, 1483, 1464, 1435, 1425, 1395, 1335, 1312, 1281, 1254, 1242, 1204, 1167, 1111, 1105, 1028, 997, 893, 883, 866, 822, 773, 746, 725, 719, 689, 608, 590, 557, 511, 501, 494, 478, 459, 451, 434, 420.

Соединения [Ph₃PCHBr₂][Br] · DMSO (2), [Ph₃PCH₂Ph]⁺₂[Ag₂Br₄]²⁻ (3) и [Ph₃P(CH₂)₃Br]⁺₃[Ag₃Br₆]³⁻ (4) синтезировали аналогичным путем из [Ph₃PCH₂C \equiv CH][Br], [Ph₃PCH₂Ph][Br] и [Ph₃P(CH₂)₃Br][Br] соответственно. Для комплекса 4 вместо системы DMSO-HBr использовали ДМФА.

- **2** (69 %), бесцветные кристаллы, $T_{\rm pa3Л}=152\,^{\circ}{\rm C}$. Найдено (%): С 41,37; Н 3,86. Для ${\rm C_{21}H_{23}OSPBr_3}$ рассчитано (%): С 41,57; Н 3,79. ИК-спектр (ν , см $^{-1}$): 3051, 3032, 3015, 3003, 2990, 2909, 2799, 2359, 2330, 2291, 1584, 1487, 1437, 1418, 1402, 1339, 1321, 1169, 1099,1040, 1024, 995, 951, 928, 791, 758, 748, 723, 687, 590, 511, 496, 440.
- **3** (65 %), бесцветные кристаллы, $T_{\text{пл}} = 226$ °C. Найдено (%): С 48,11; Н 3,64. Для $C_{25}H_{22}PBr_2Ag$ рассчитано (%): С 48,30; Н 3,54. ИК-спектр (ν , см⁻¹): 3080, 3053, 2909, 2870, 2799, 1597, 1587, 1485, 1450, 1435, 1408, 1387, 1329, 1306, 1186, 1161, 1148, 1113, 1070, 1028, 995, 972, 924, 862, 851, 812, 787, 758, 748, 743, 719, 704, 696, 687, 619, 583, 509, 494, 444, 434.
- **4** (70 %), бесцветные кристаллы, $T_{\text{пл}} = 81^{\circ}\text{C}$. Найдено (%): С 38,40; Н 3,47. Для С₆₃Н₆₃Р₃Вг₉Аg₃ рассчитано (%): С 38,65; Н 3,22. ИК-спектр (ν , см⁻¹): 3090, 3076, 3051, 3040, 3007, 2990, 2941, 2914, 2889, 2880, 2860, 2793, 1587, 1485, 1462, 1437, 1406, 1387, 1368, 1342, 1319, 1240, 1209, 1194, 1167, 1159, 1113, 1072, 1053, 1045, 1022, 997, 988, 899, 876, 854, 791, 766, 743, 721, 710, 692, 919, 596, 563, 534, 503, 494, 469, 455, 436.

ИК-спектры комплексов **1–4** записывали на ИК-спектрометре Shimadzu IR Affinity-1S в таблетках KBr в области 4000-400 см⁻¹.

PCA кристаллов **1–4** проведен на дифрактометре D8 Quest фирмы Bruker (Мо $K\alpha$ -излучение, $\lambda = 0,71073$ Å, графитовый монохроматор) при 296(2) К. Сбор, редактирование данных и уточнение параметров элементарной ячейки, а также учет поглощения проведены по программам SMART и SAINT-*Plus* [22]. Все расчеты по определению и уточнению структур выполнены по программам SHELXL/PC [23] и OLEX2 [24]. Структуры определены прямым методом и уточнены методом наименьших квадратов в анизотропном приближении для неводородных атомов.

Таблица 1 Кристаллографические данные, параметры эксперимента и уточнения структур комплексов 1–4

| Параметр | 1 | 2 | 3 | 4 |
|--|-----------------------------------|--|------------------------------------|------------------------------------|
| Стехиометрическая формула | $C_{25}H_{20}OPBr_3$ | $C_{21,33}H_{23}O_{1,17}S_{1,17}PBr_{3}$ | $C_{25}H_{22}PBr_2Ag$ | $C_{63}H_{63}P_3Br_9Ag_3$ |
| M | 607,11 | 606,17 | 621,07 | 1955,75 |
| Сингония | Моноклинная | Тригональная | Моноклинная | Моноклинная |
| Пространственная группа | P2 ₁ /c | R3 | C2/c | P2 ₁ /c |
| a, Å | 18,157(11) | 33,379(18) | 24,825(14) | 24,59(3) |
| b, Å | 15,293(8) | 33,379 | 10,215(7) | 16,41(2) |
| c, Å | 17,258(9) | 11,145(6) | 19,910(11) | 17,99(2) |
| α, град. | 90,00 | 90,00 | 90,00 | 90,00 |
| β, град. | 90,27(3) | 90,00 | 109,98(2) | 108,25(4) |
| ү, град. | 90,00 | 120,00 | 90,00 | 90,00 |
| <i>V</i> , Å ³ | 4792(5) | 10753(13) | 4745(5) | 6893(15) |
| Z | 4 | 18 | 8 | 4 |
| $\rho_{\text{выч}}, \Gamma/\text{см}^3$ | 1,682 | 1,685 | 1,739 | 1,885 |
| μ , MM^{-1} | 5,132 | 5,244 | 4,294 | 6,167 |
| F(000) | 2380 | 5382 | 2432 | 3768 |
| Размер кристалла, мм | $0.33 \times 0.18 \times 0.13$ | $0.31 \times 0.30 \times 0.20$ | $0.5 \times 0.15 \times 0.12$ | $0.33 \times 0.16 \times 0.16$ |
| Диапазон сбора данных по 20, град. | 5,72–52,26 | 6,26–61,20 | 6,34–67,60 | 5,88–39,72 |
| Диапазон индексов | $-22 \le h \le 22$ | $-47 \le h \le 43$ | $-38 \le h \le 36$ | $-23 \le h \le 23$ |
| | $-18 \le k \le 18$ | $-40 \le k \le 47$ | $-15 \le k \le 15$ | $-15 \le k \le 15$ |
| | $-21 \le l \le 21$ | $-15 \le l \le 15$ | $-31 \le l \le 30$ | $-17 \le l \le 17$ |
| Число измеренных рефлексов | 83462 | 59595 | 89682 | 35058 |
| Чисто независимых рефлексов | 9454 | 7328 | 9477 | 6251 |
| R_{int} | 0,0546 | 0,0600 | 0,0677 | 0,0555 |
| GOOF | 1,015 | 1,047 | 1,007 | 1,048 |
| Число параметров | 427 | 360 | 262 | 722 |
| R -факторы по $I > 2\sigma(I)$ | $R_1 = 0.0351$ $wR_2 = 0.0863$ | $R_1 = 0.0411$ $wR_2 = 0.0778$ | $R_1 = 0.0452,$ $wR_2 = 0.0857$ | $R_1 = 0.0672,$ $wR_2 = 0.1770$ |
| <i>R</i> -факторы по всем | $R_1 = 0.0569$, | $R_1 = 0.0905,$ | $R_1 = 0,1051,$ | $R_1 = 0.0827$, |
| рефлексам | $wR_2 = 0.0972$ | $wR_2 = 0.0950$ | $wR_2 = 0.1033$ | $wR_2 = 0.1877$ |
| Остаточная электронная плотность (max/min), e/A ³ | 0,44/ -1,08 | 0,57/ -0,76 | 0,66/ -1,14 | 1,85/ -2,60 |

Основные длины связей и валентные углы в комплексах 1–4

| Связь | d, Å | Угол | ω , град. | | | |
|-------------|----------|----------------|------------------|--|--|--|
| 1 | | | | | | |
| Br(3)–C(33) | 1,897(4) | C(1)P(1)C(37) | 108,65(17) | | | |
| Br(4)–C(35) | 1,910(4) | C(21)P(1)C(37) | 111,27(17) | | | |

Таблица 2

Окончание табл. 2

| Связь | d, Å | Угол | ω , град. |
|-----------------------------------|-------------------------------|-------------------------------------|------------------|
| Br(6)–C(75) | 1,900(4) | C(21)P(1)C(1) | 110,62(17) |
| Br(5)–C(73) | 1,890(4) | C(21)P(1)C(11) | 108,44(18) |
| P(1)-C(37) | 1,812(4) | C(11)P(1)C(37) | 108,64(16) |
| P(1)-C(1) | 1,804(4) | C(11)P(1)C (1) | 109,18(16) |
| P(1)–C(21) | 1,788(4) | C(41)P(2)C(77) | 108,73(16) |
| P(1)–C(11) | 1,797(3) | C(61)P(2)C(41) | 108,58(18) |
| P(2)–C(41) | 1,805(3) | C(61)P(2)C(77) | 111,24(17) |
| P(2)-C(77) | 1,813(4) | C(61)P(2)C(51) | 110,35(17) |
| P(2)-C(61) | 1,788(4) | C(51)P(2)C(41) | 109,45(16) |
| P(2)–C(51) | 1,797(3) | C(51)P(2)C(77) | 108,46(16) |
| 1(2) 8(81) | 1,777(3) | 2 | 100,10(10) |
| Br(1)–C(19) | 1,948(3) | C(1)P(1)C(7) | 109,17(15) |
| Br(2)–C(19) | 1,944(3) | C(1)P(1)C(13) | 110,04(15) |
| P(1)–C(1) | 1,786(3) | C(1)P(1)C(19) | 109,58(14) |
| P(1)–C(7) | 1,794(3) | C(7)P(1)C(19) | 109,38(14) |
| | | ` ' ` ' ` ' | |
| P(1)-C(13) | 1,791(3) | C(13)P(1)C(7) | 109,22(14) |
| P(1)–C(19) | 1,815(3) | C(13)P(1)C(19) | 109,54(14) |
| 4 (4) 4 (4) | 0.1007(15) | 3 | 7.1.00(0) |
| $Ag(1)-Ag(1^1)$ | 3,1305(17) | $Br(1^1)Ag(1)Ag(1^1)$ | 54,03(2) |
| Ag(1)–Br(1) | 2,6662(12) | $Br(1)Ag(1)Ag(1^1)$ | 54,12(3) |
| $Ag(1)-Br(1^1)$ | 2,6693(12) | $Br(1)Ag(1)Br(1^1)$ | 108,15(4) |
| Ag(1)–Br(2) | 2,5522(14) | $Br(2)Ag(1)Ag(1^1)$ | 173,12(2) |
| $Br(1)$ – $Ag(1^1)$ | 2,6693(12) | Br(2)Ag(1)Br(1) | 126,80(4) |
| P(1)–C(37) | 1,813(3) | $Br(2)Ag(1)Br(1^1)$ | 124,47(2) |
| P(1)–C(11) | 1,794(3) | $Ag(1)Br(1)Ag(1^{1})$ | 71,85(4) |
| P(1)-C(1) | 1,797(3) | C(11)P(1)C(1) | 108,46(13) |
| P(1)–C(21) | 1,793(3) | C(1)P(1)C(37) | 110,46(13) |
| Преобразования симметр | ии: ¹ 1-х, -у, 1-z | | |
| | , ,, | 4 | |
| Ag(1)-Ag(2) | 2,974(4) | Br(1)Ag(1)Ag(2) | 165,02(15) |
| Ag(1)-Ag(3) | 3,191(4) | Br(1)Ag(1)Ag(3) | 136,55(15) |
| Ag(1)-Br(1) | 2,477(4) | Br(1)Ag(1)Br(3) | 121,63(14) |
| $\frac{Ag(1)-Br(3)}{Ag(1)-Br(3)}$ | 2,618(4) | Br(1)Ag(1)Br(4) | 122,00(13) |
| $\frac{Ag(1)-Br(3)}{Ag(1)-Br(4)}$ | 2,717(4) | Br(3)Ag(1)Br(4) | 110,11(12) |
| $\frac{Ag(1)-BI(4)}{Ag(2)-Ag(3)}$ | 3,012(3) | Br(2)Ag(2)Ag(1) | 121,86(11) |
| | 2,633(3) | | 90,37(11) |
| Ag(2)-Br(2) | | Br(2)Ag(2)Br(3) | |
| Ag(2)-Br(3) | 3,009(4) 2,919(4) | Br(2)Ag(2)Br(4) | 95,12(10) |
| Ag(2)-Br(4) | , , , | Br(3)Ag(2)Ag(3) | 56,27(8) |
| Ag(2)-Br(5) | 2,474(3) | Br(4)Ag(2)Br(3) | 95,05(8) |
| Ag(3)–Br(2) | 2,740(3) | Br(5)Ag(2)Br(2) | 114,97(13) |
| Ag(3)–Br(3) | 2,839(3) | Br(5)Ag(2)Br(3) | 111,07(13) |
| Ag(3)–Br(4) | 2,874(4) | Br(5)Ag(2)Br(4) | 109,52(12) |
| Ag(3)–Br(6) | 2,552(3) | Ag(2)Ag(3)Ag(1) | 57,22(9) |
| P(1A)–C(1A) | 1,811(15) | Br(2)Ag(3)Ag(1) | 111,32(11) |
| P(1A)–C(7A) | 1,779(14) | Br(2)Ag(3)Br(4) | 93,86(9) |
| P(1A)-C(13A) | 1,791(15) | Br(3)Ag(3)Br(4) | 99,89(7) |
| P(1A)-C(19A) | 1,788(15) | Br(6)Ag(3)Br(2) | 127,91(8) |
| P(1B)-C(1B) | 1,812(15) | Br(6)Ag(3)Br(3) | 119,90(10) |
| P(1B)–C(7B) | 1,783(15) | Br(6)Ag(3)Br(4) | 116,86(10) |
| P(1B)–C(13B) | 1,795(15) | C(1A)P(1A)C(19A) | 110.1(7) |
| P(1B)–C(19B) | 1,792(15) | C(7A)P(1A)C(13A) | 109.1(7) |
| P(1C)–C(1C) | 1.788(15) | C(1B)P(1B)C(7B) | 109.2(7) |
| P(1C)-C(7C) | 1.780(19) | C(13B)P(1B)C(19B) | 109.2(7) |
| P(1C)-C(13C) | 1.793(16) | C(1SB)F(1B)C(13B) C(1C)P(1C)C(13C) | 109.5(7) |
| P(1C)-C(19C) | 1.805(15) | C(7C)P(1C)C(19C) | 110.5(8) |
| | | | 1.10.3001 |

Полные таблицы координат атомов, длин связей и валентных углов в комплексах **1–4** депонированы в Кембриджском банке структурных данных (CCDC 2419202 (**1**), 2419841 (**2**), 2417932 (**3**), 2421508 (**4**); deposit@ccdc.cam.ac.uk; http://www.ccdc.cam.ac.uk).

Обсуждение результатов

Известно, что продуктами реакций бромида органилтрифенилфосфония с бромидом серебра в диметилсульфоксиде являются соли органилтрифенилфосфония с Ag,Br-содержащими анионами [1, 2–5, 7].

С целью изучения влияния природы катиона и мольного соотношения реагентов на строение Ag, Br-содержащих анионов было изучено взаимодействие бромида серебра с солями $[Ph_3PR]Br$ в растворе ДМСО ($R = CH_2C_6H_4(OH-2)$, $CH_2C\equiv CH$, CH_2Ph) или ДМФА ($R = (CH_2)_3Br$). Реакции с бромидами 2-оксибензил-, пропаргил- и бензилтрифенилфосфония осуществлялось в присутствии бромистоводородной кислоты, которую добавляли в реакционную смесь для улучшения растворимости исходных компонентов. Медленное удаление растворителя из образующегося гомогенного раствора приводило к образованию кристаллов, строение которых анализировали методом ИК- и рентгеноструктурного анализа.

Мы нашли, что из реакционной смеси, содержащей эквимолярные количества бромида серебра, бромида 2-оксибензилтрифенилфосфония и бромистоводородной кислоты в растворе диметилсульфоксида были выделены кристаллы бромида (2-окси)(3,5-дибром)бензилтрифенилфосфония, т. е. имело место бромирование фенильного фрагмента 2-оксибензилтрифенилфосфония, т. е. при действии бромистоводородной кислоты имело место электрофильное замещение атомов водорода в бензольном кольце бензильного фрагмента исходного фосфорсодержащего соединения:

$$[Ph_3PCH_2C_6H_4(OH-2)][Br] + 2 HBr \xrightarrow{DMSO, AgBr} [Ph_3PCH_2C_6H_2(OH-2)Br_2-3,5][Br]$$

$$(1)$$

В аналогичных условиях при введении в исходный бромид тетраорганилфосфония органического заместителя, содержащего тройную связь, основным продуктом реакции являлся сольват бромида дибромметилтрифенилфосфония с диметилсульфоксидом:

$$[Ph_3PCH_2C \equiv CH][Br] + 2 HBr \xrightarrow{DMSO, AgBr} [Ph_3PCHBr_2][Br] \cdot DMSO$$
(2)

Очевидно, что преобразование пропаргилового заместителя в дибромметильный происходило при действии бромистоводородной кислоты на исходный бромид тетраорганилфосфония, а бромистое серебро, как и в предыдущей реакции, не было задействовано в образовании конечного продукта.

Однако отсутствие гидроксильной группы в бензильном заместителе приводило к иным результатам. В этом случае с высоким выходом получали продукт ионного строения с биядерным анионом $[Ag_2Br_4]^{2-}$:

$$2 [Ph_3PCH_2Ph][Br] + 2 AgBr \xrightarrow{DMSO, HBr} [Ph_3PCH_2Ph]^+_2[Ag_2Br_4]^{2-}$$
(3)

В случае замены бензильной группы у атома фосфора на 3-бромпропильный заместитель имело место образование трехъядерного аниона $[Ag_3Br_6]^{3-}$:

$$3 \left[Ph_3P(CH_2)_3Br\right][Br] + 3 AgBr \xrightarrow{\text{DMF}} \left[Ph_3P(CH_2)_3Br\right]^+_3[Ag_3Br_6]^{3-}$$

$$(4)$$

В ИК-спектрах соединений **1–4** ожидаемо присутствуют полосы поглощения колебаний связей С–H в интервалах 3057–2799, 3051–2799, 3080–2799 и 3090–2793 см⁻¹, а также P–С_{Ph}-связей

при 1435 (**1**, **3**), 1437 (**2**, **4**) см $^{-1}$. Полосу при 1024 см $^{-1}$ в ИК-спектре комплекса **2** можно отнести к валентным колебаниям связи S=O. Колебаниям связей C_{Ar} -Br и C_{Alk} -Br, вероятно, соответствуют полосы при 1105 см $^{-1}$ (**1**) и 511 (**2**), 534 (**4**) см $^{-1}$ соответственно [25,26].

Строение солей органилтрифенилфосфония **1** (рис. 1) и **2** (рис. 2), в которых присутствовали тетраэдрические катионы фосфония и противоионы [Br]⁻, сравнимо со структурами подобных бромидов тетраорганилфосфония [27,28], а дизайн анионов $[Ag_2Br_4]^{2-}$ в **3** подобен наблюдаемому в работах [2, 5]. Так, в центросимметричных биядерных анионах **3** (рис. 3) длины связей Ag-Br_{терм} (2,5522(14) Å) и Ag-Br_{мост} (2,6662(12), 2,6693(12) Å) значительно отличаются между собой, как и углы BrAgBr (108,15(4)°, 126,80(4)°), и приближаются по своему значению к наблюдаемым в подобных анионах [2, 5].

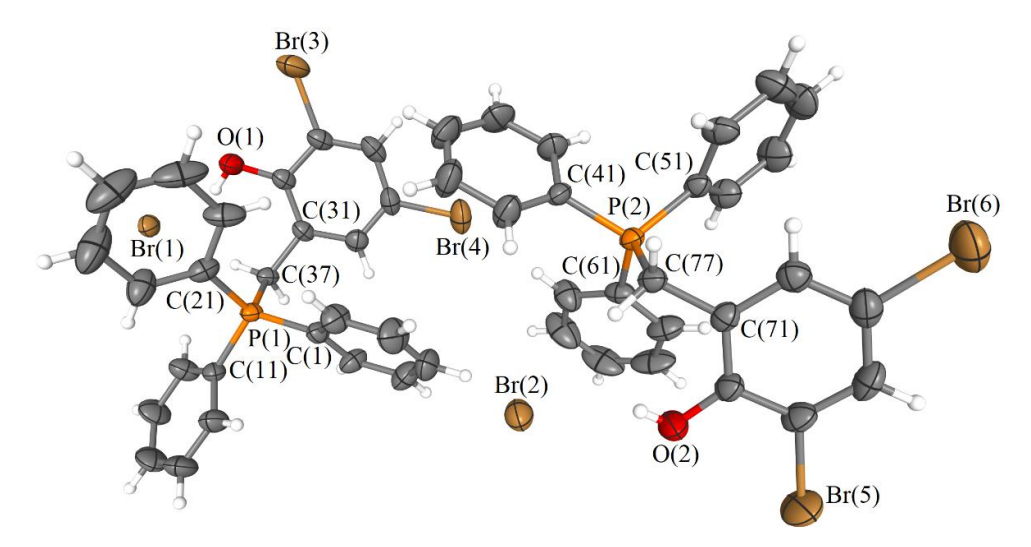


Рис. 1. Строение комплекса 1

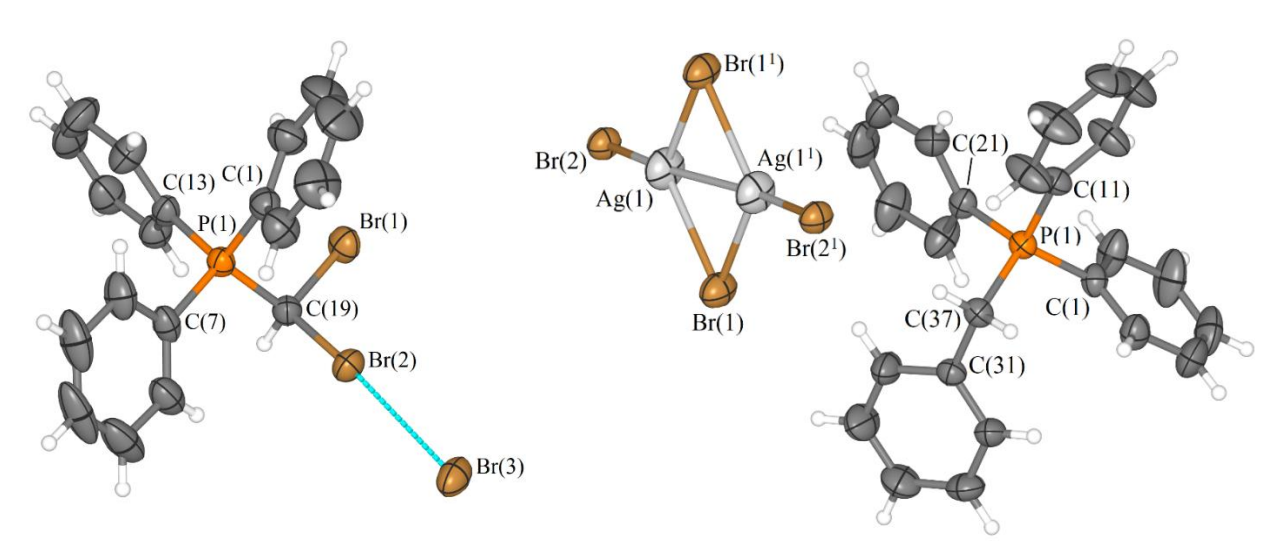


Рис. 2. Строение комплекса 2 (сольватные молекулы диметилсульфоксида не показаны)

Рис. 3. Строение комплекса 3

Если в кристалле (2-окси)(3,5-дибром)бензилтрифенилфосфония (1) присутствуют два кристаллографически независимых органилтрифенилфосфониевых катиона, то в кристалл 4 содержит три кристаллографически независимых бромпропилтрифенилфосфониевых катионов и трехзарядных трехъядерных анионов $[Ag_3Br_6]^{3-}$ (рис. 4).

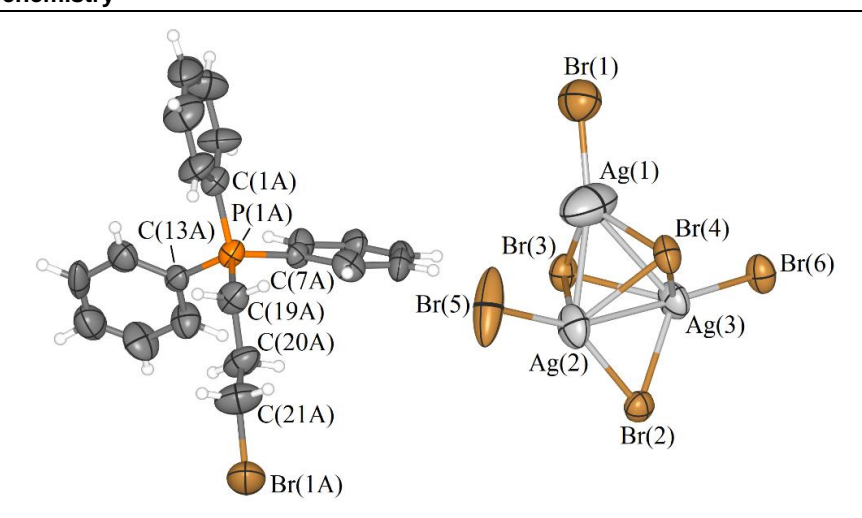


Рис. 4. Строение комплекса 4 (показан один из трех катионов)

Связи Ag—Br в анионе комплекса **4** различаются между собой: три терминальные связи Ag—Br_{терм} (2,474(3), 2,477(4), 2,552(3) Å) значительно короче мостиковых связей Ag—Br_{мост} (2,633(3), 2,740(3) Å) для двухкоординированного атома брома Br(2). Расстояния Ag—Br_{мост} для двух трехкоординированных атомов брома Br(3) и Br(4) варьируют в широком интервале значений (2,618(4)—3,009(4) Å). Длины связей Ag(1)—Br(3,4) (2,618(4), 2,717(4) Å)) близки к аналогичным расстояниям мостикового двухкоординированного атома Br(2), а связи Ag(2)—Br(3,4) и Ag(3)—Br(3,4) (2,839(3)—3,009(4) Å)) являются наиболее длинными Ag—Br связями в анионе комплекса **4**.

Выводы

Реакции в ДМСО бромида серебра с бромидами 2-оксибензилтрифенилфосфония и пропаргилтрифенилфосфония в присутствии бромистоводородной кислоты приводят к модифицированию катионов исходных ониевых солей и кристаллизации [$Ph_3PCH_2C_6H_2(OH-2)Br_2-3,5$][Br] и [Ph_3PCHBr_2][Br]·DMSO соответственно. Реакция с бромидом бензилтрифенилфосфония в тех же условиях приводит к образованию комплекса [Ph_3PCH_2Ph]₂[Ag_2Br_4] с типичным димерным анионом. В свою очередь, продуктом взаимодействия бромида серебра и бромида 3-бромпропилтрифенилфосфония в ДМСО является комплекс [$Ph_3P(CH_2)_3Br$]₃[Ag_3Br_6] с олигомерным анионом.

Список источников

- 1. *Шарутин В.В., Шарутина О.К., Сенчурин В.С. и др.* // Коорд. химия. 2016. Т. 42, № 2. С. 110. DOI: 10.7868/S0132344X16020079
- 2. *Шарутин В.В., Шарутина О.К., Сенчурин В.С. и др.* // Журн. неорган. химии. 2016. Т. 61, № 4. С. 472. DOI: 10.7868/S0044457X16040176
- 3. *Шарутин В.В., Шарутина О.К., Сенчурин В.С., Неудачина А.Н.* // Журн. общ. химии. 2016. Т. 86, № 7. С. 1177. EDN: WHFJVZ
- 4. Bowmaker G.A., Clark G.R., Rogers D.A. et al. // J. Chem. Soc., Dalton Trans. 1984. P. 37. DOI: 10.1039/DT9840000037
- 5. *Шарутин В.В., Шарутина О.К., Сенчурин В.С. и др.* // Бутлеровские сообщения. 2014. Т. 39, № 10. С. 54. EDN: TPFWHV
- 6. *Шарутин В.В., Сенчурин В.С., Неудачина А.Н. и др.* // Бутлеровские сообщения. 2014. Т. 39, № 8. С. 97. EDN: TOTZMF
- 7. *Shevchenko D.P.*, *Zhizhina A.I.*, *Efremov A.N. et al.* // Russ. J. Inorg. Chem. 2024. V. 69, No. 6. P. 830. DOI: 10.1134/S0036023624600710
- 8. *Шарутин В.В.*, *Сенчурин В.С.*, *Пакусина А.П. и др.* // Журн. неорган. химии. 2010. Т. 55, № 9. С. 1499. EDN: MVNWFB
- 9. *Шарутин В.В., Сенчурин В.С., Шарутина О.К. и др.* // Бутлеровские сообщения. 2011. Т. 27, № 16. С. 68. EDN: OWHRTZ

- 10. *Шарутин В.В., Шарутина О.К., Сенчурин В.С.* // Бутлеровские сообщения. 2014. Т. 38, № 5. С. 151. EDN: TAMHJH
- 11. *Шарутин В.В., Шарутина О.К., Сенчурин В.С.* // Журн. неорган. химии. 2015. Т. 60, № 8. С. 1040. DOI: 10.7868/S0044457X15080188
- 12. *Шарутин В.В., Сенчурин В.С., Фастовец О.А. и др. //* Коорд. химия. 2008. Т. 34, № 5. С. 373. EDN: IJUXPJ
- 13. Sharutin V.V., Sharutina O.K., Senchurin V.S. // Вестник ЮУрГУ. Серия «Химия». 2015. Т. 7, № 4. С. 98. DOI: 10.14529/chem150413
- 14. *Шарутин В.В., Сенчурин В.С., Шарутина О.К.* // Вестник ЮУрГУ. Серия «Химия». 2011. № 33 (250). С. 37. EDN: OJSELN
- 15. *Шарутин В.В., Сенчурин В.С., Шарутина О.К.* // Бутлеровские сообщения. 2012. Т. 30, № 6. С. 50. EDN: PCFIWR
- 16. *Шарутин В.В., Сенчурин В.С., Шарутина О.К. и др.* // Журн. неорган. химии. 2013. Т. 58, № 1. С. 36. DOI: 10.7868/S0044457X13010194
- 17. *Шарутин В.В., В.С. Сенчурин, А.П. Пакусина и др.* // Журн. неорган. химии. 2010. Т. 55, № 1. С. 64. EDN: KZLWQZ
- 18. *Шарутин В.В., Сенчурин В.С., Шарутина О.К.* // Бутлеровские сообщения. 2011. Т. 28, № 17. С. 67. EDN: OWTYKP
- 19. *Шарутин В.В., Сенчурин В.С., Шарутина О.К.* // Бутлеровские сообщения. 2011. Т. 28, № 20. С. 35. EDN: OWFPNZ
- 20. *Шарутин В.В., Сенчурин В.С., Шарутина О.К. и др.* // Бутлеровские сообщения. 2012. Т. 30, № 4. С. 55. EDN: PCFIHR
- 21. *Шарутин В.В., Сенчурин В.С., Шарутина О.К. и др.* // Коорд. химия. 2011. Т. 37, № 11. С. 857. EDN: OJHATF
- 22. Bruker. SMART and SAINT-Plus. Versions 5.0. Data Collection and processing software for the SMART system. Bruker AXS Inc., Madison, Wisconsin, USA, 1998.
- 23. Bruker. SHELXTL/PC. Versions 5.10. An integrated system for solving, refining and displaying crystal structures from diffraction data. Bruker AXS Inc., Madison, Wisconsin, USA, 1998.
- 24. *Dolomanov O.V., Bourhis L.J., Gildea R.J. et al.* // J. Appl. Cryst. 2009. V. 42. P. 339. DOI: 10.1107/S0021889808042726
- 25. *Тарасевич Б.Н*. ИК-спектры основных классов органических соединений. М.: МГУ, 2012. $54 \, \mathrm{c}$.
- 26. *Беллами Л.* Инфракрасные спектры сложных молекул / пер. с англ. В.М. Акимова, Ю.А. Пентина, Э.Г. Тетерина. М.: Изд-во иностранной литературы, 1963. 590 с.
- 27. Cambridge Crystallographic Database. Release 2022. Cambridge. deposit@ccdc.cam.ac.uk; http://www.ccdc.cam.ac.uk
- 28. *Marrett J.M.*, *Titi H.M.*, *Teoh Y. et al.* // Chem. Sci. 2024. V. 15. P. 298. DOI: 10.1039/d2sc04615f

Шарутин Владимир Викторович – доктор химических наук, профессор, главный научный сотрудник управления научной и инновационной деятельности, Южно-Уральский государственный университет, Челябинск, Россия. E-mail: sharutin50@mail.ru

Шевченко Дмитрий Павлович – аспирант, Южно-Уральский государственный университет, Челябинск, Россия. E-mail: Shepher56@gmail.com

Шарутина Ольга Константиновна – доктор химических наук, профессор, заведующий кафедрой теоретической и прикладной химии, Южно-Уральский государственный университет, Челябинск, Россия. E-mail: sharutinaok@susu.ru

Баранов Евгений Владимирович — кандидат химических наук, научный сотрудник сектора рентгенодифракционных исследований, Институт металлоорганической химии им. Г.А. Разуваева РАН, Нижний Новгород, Россия. E-mail: bar@iomc.ras.ru

Cmamья поступила в редакцию 27 февраля 2025 г. The article was submitted 27 February 2025.